

Senzory vlnoplochy: Informace ukrytá v koherenci

J. Řeháček, B. Stoklasa, Z. Hradil

*katedra optiky a Centrum digitální optiky, Univerzita Palackého,
Olomouc*

L. L. Sánchez-Soto

Departamento de Óptica, Universidad Complutense, Madrid



Technologická agentura
České republiky

Projekt TE01020229 je řešen s podporou
Technologické agentury ČR

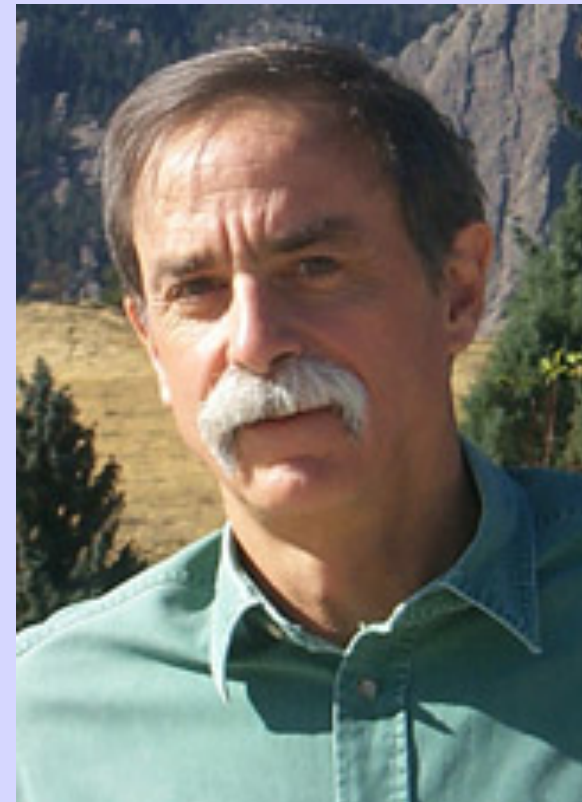


Centra
kompetence

Kvantová informatika

Nobelova cena za fyziku 2012:

Serge Haroche and David J. Wineland **Particle control
in a quantum world**



Optimal time-resolved photon number distribution reconstruction of a cavity field by maximum likelihood

C Sayrin¹, I Dotsenko¹, S Gleyzes¹, M Brune^{1,3}, J M Raimond¹
and S Haroche^{1,2}

¹ Laboratoire Kastler-Brossel, ENS, UPMC-Paris 6, CNRS, 24 rue Lhomond,
F-75005 Paris, France

² Collège de France, 11 place Marcelin Berthelot, F-75005 Paris, France
E-mail: michel.brune@lkb.ens.fr

Manuscript received 24/06/02; accepted 14/09/02; published online 14/09/02

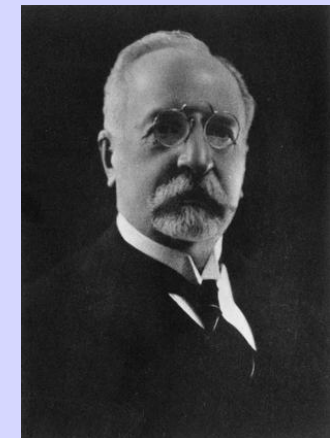
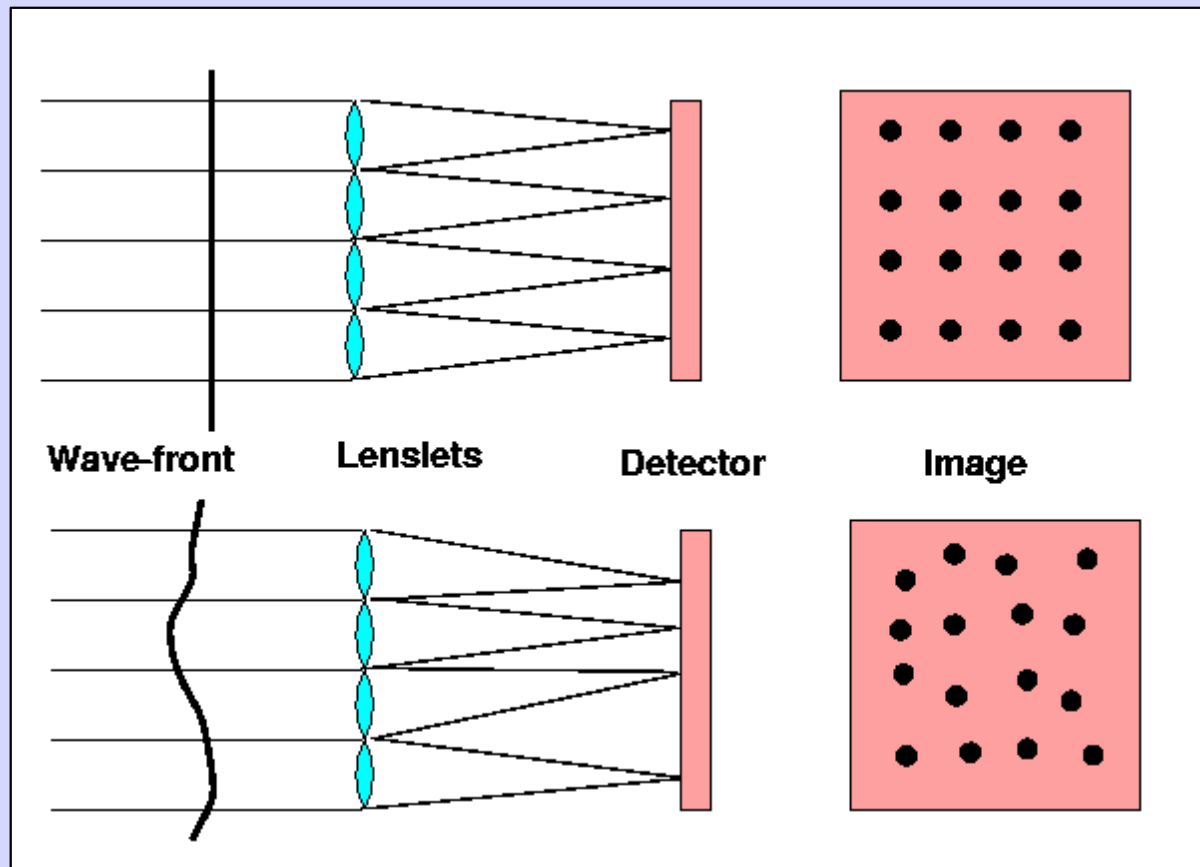
- [1] Paris M and Rehacek J (ed) 2004 *Quantum State Estimation* (*Lecture Notes in Physics* vol 659) (Berlin: Springer)

© 2002 IOP Publishing Ltd, 0953-8582/02/0909-01-10 \$15.00 © 2002 IOP Publishing Ltd, 0953-8582/02/0909-01-10 \$15.00

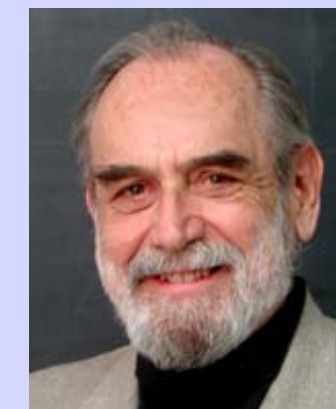
- [13] Rehacek J, Hradil Z and Jezek M 2001 Iterative algorithm for reconstruction of entangled states *Phys. Rev. A* **63** 040303

Detekce vlnoplochy

Shackův – Hartmannův senzor



Johannes F. Hartmann

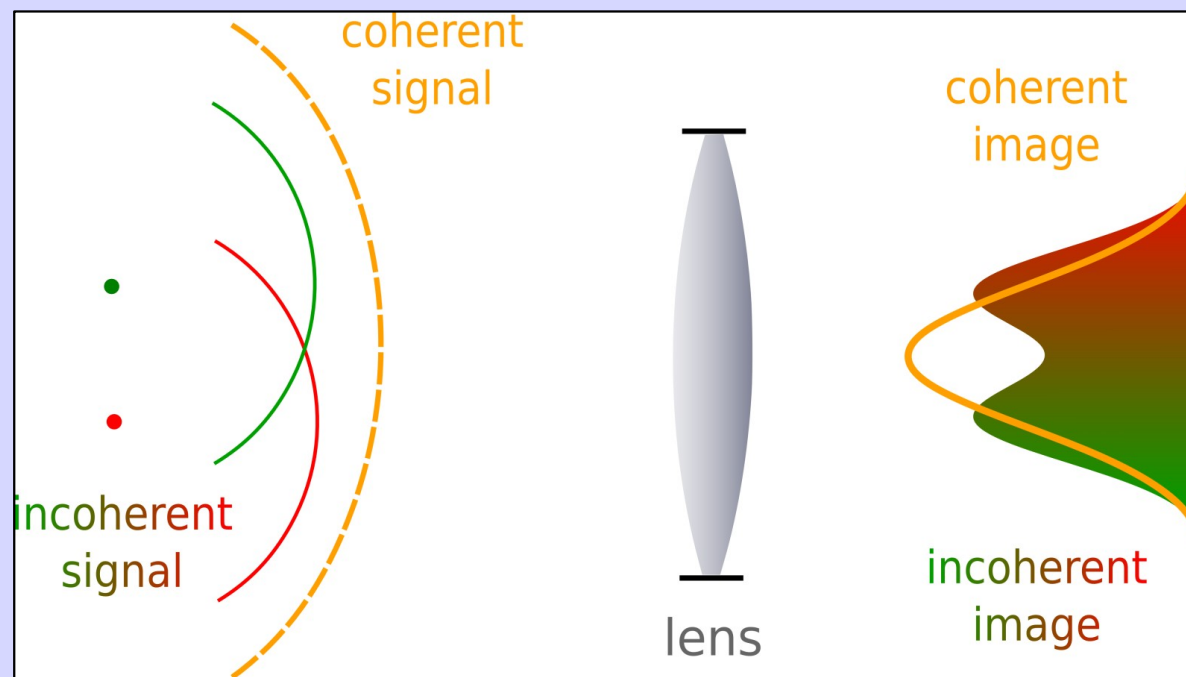


Roland Shack

Současné měření intenzity a úhlového spektra

Obecný popis svazku

- částečná koherence – vlnoplochu a fázi nelze definovat
- přítomnost netriviálních korelací
- rekonstrukce koherenční matice $G: G(x', x) = \langle x' | G | x \rangle$



Obecný popis svazku ...

Příklady/aplikace:

- charakterizace módové struktury rezonátorů
- simulace šíření svazku

$$I(\xi) = \int h(\xi, x) h^*(\xi, x') G(x', x) dx dx'$$

- analýza korelací v signálu

vzájemná intenzita

SH detekce: zjednodušený model

Gaussovská pupila

$$A_j(x) \propto \exp \left[-\frac{1}{4} \left(x - x_j \right)^2 / (\Delta x)^2 \right]$$

jeden mód v detekční rovině

$$U_j(p) \propto F\{U(x)A_j(x)\}$$

intenzita na pixelu p za mikročočkou j

$$I_{j,p} \propto \langle \alpha_{j,p} | G | \alpha_{j,p} \rangle$$

gaussovský
svazek tedy Q -
rozdělení

SH detekce: realistický model

měření

$$|\psi_{j,p}\rangle = e^{ix_j \hat{p}} e^{ip_j \hat{x}} |A\rangle, \quad A(x) = \langle x|A\rangle$$

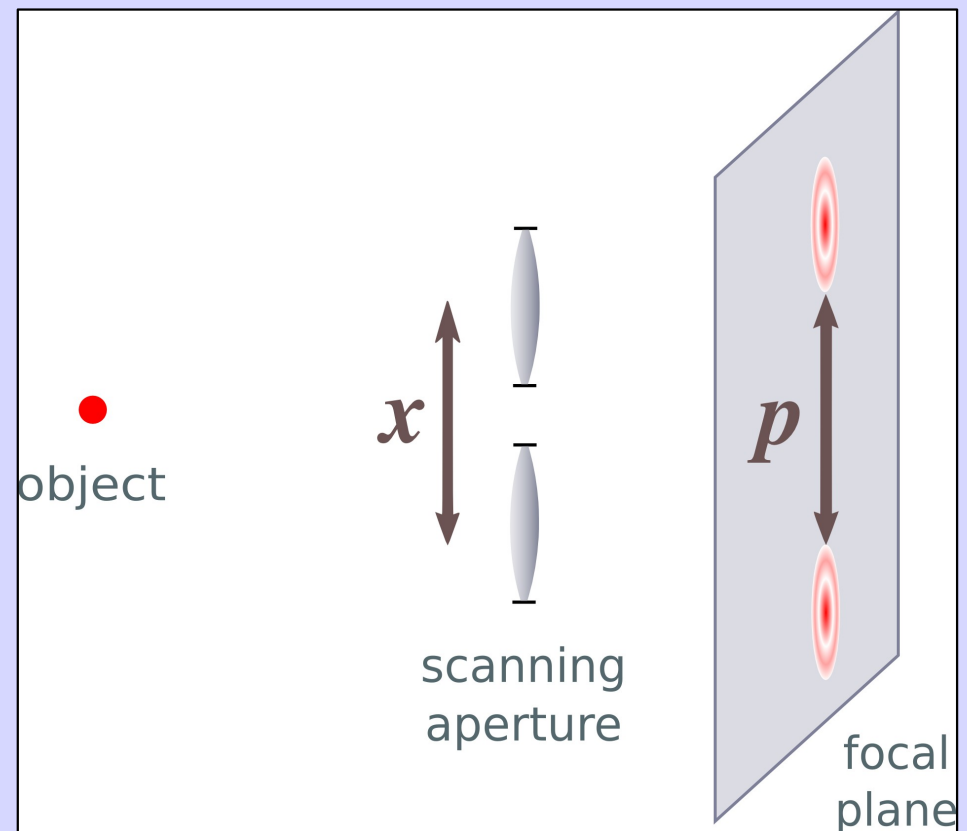
prostorově omezená pupila A

$$\langle \psi_{j,p} | \psi_{j',p'} \rangle = 0, \quad j \neq j'$$

pupily se nepřekrývají

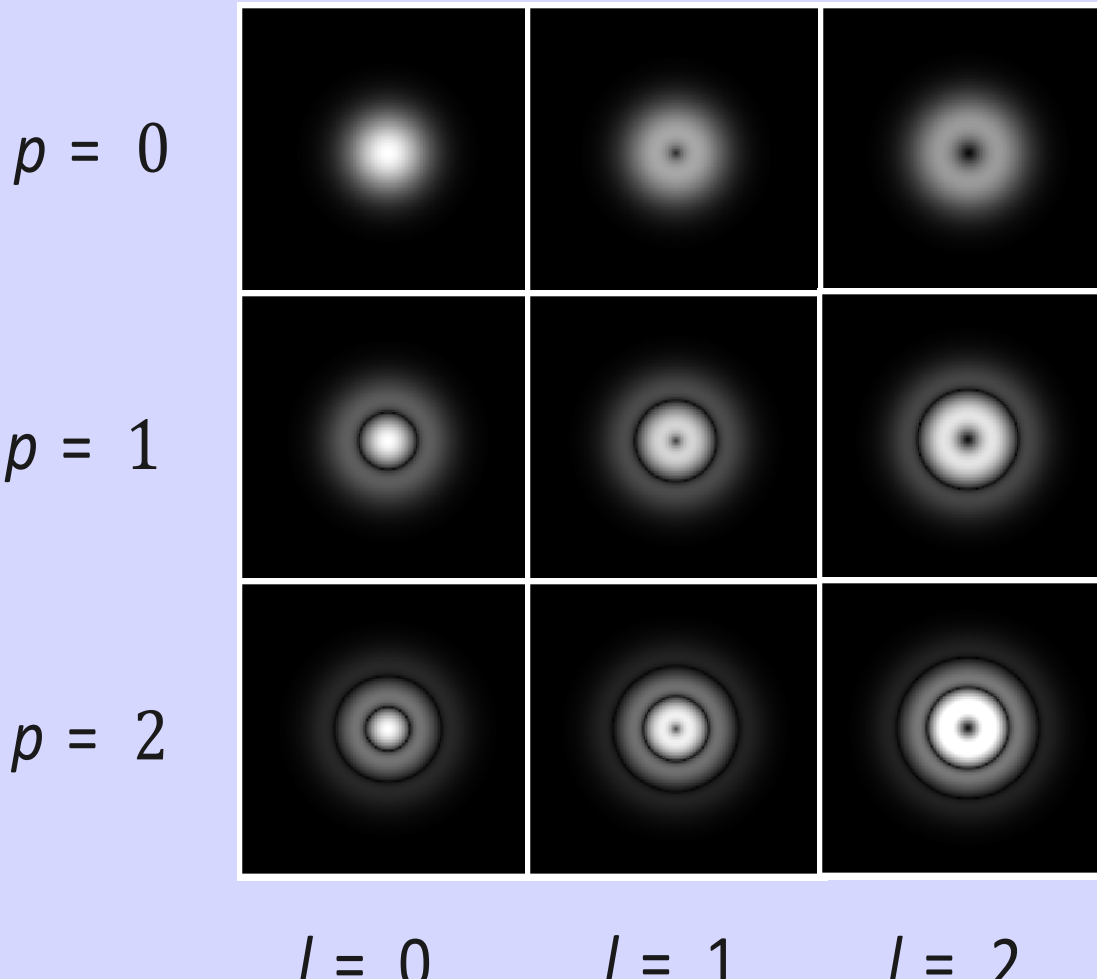
SH detekce není úplná

nutno omezit prostor svazků

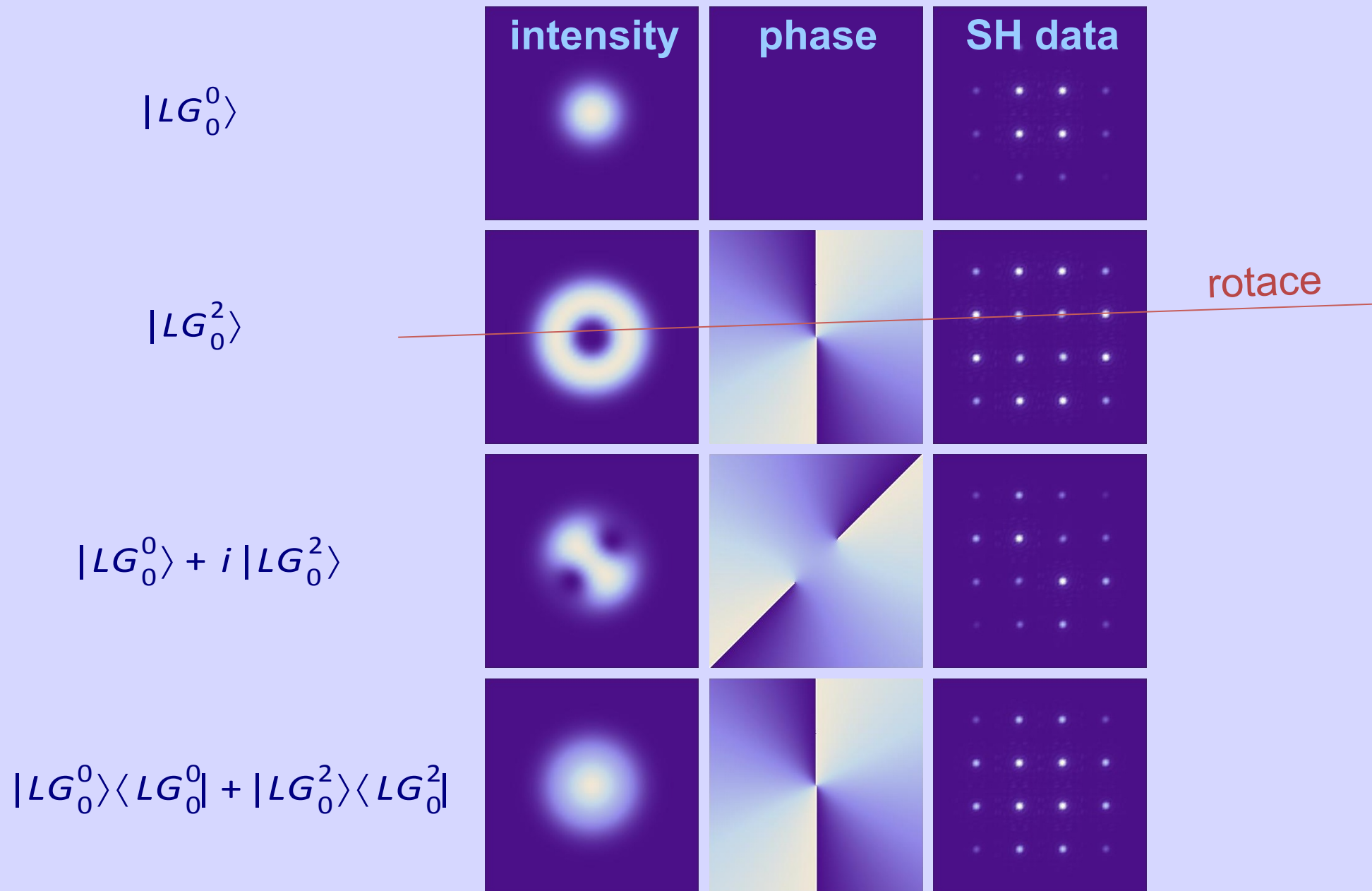


Laguerrovy–Gaussovy svazky

$$LG_p^l(x, y) = \langle x | y | l/p \rangle \propto r^{|l|} L_p^{|l|}(2r^2) e^{-r^2} e^{il\varphi}$$

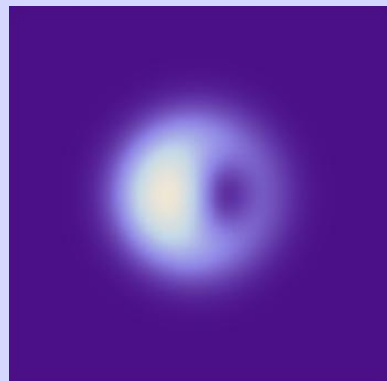


SH detekce LG svazků

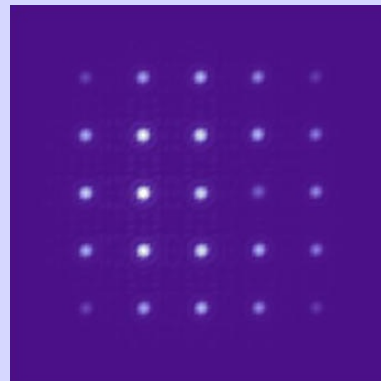


Simulace

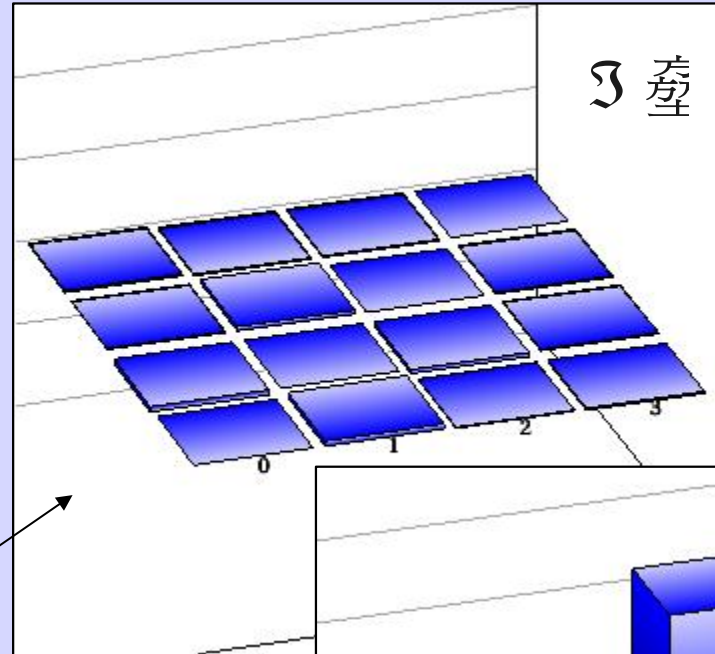
$$G = \frac{3}{5} |G_0^0 - LG_0^1 \times LG_0^0 - LG_0^1| + \frac{2}{5} |G_0^2 \times LG_0^2|$$



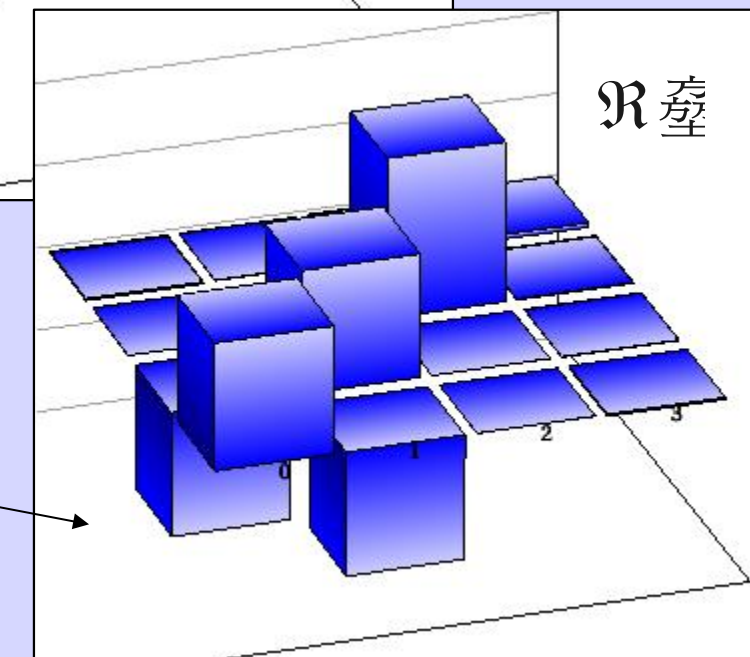
intenzit
a



SH



rekonstrukce
(přidáno 5% šumu)



Experiment

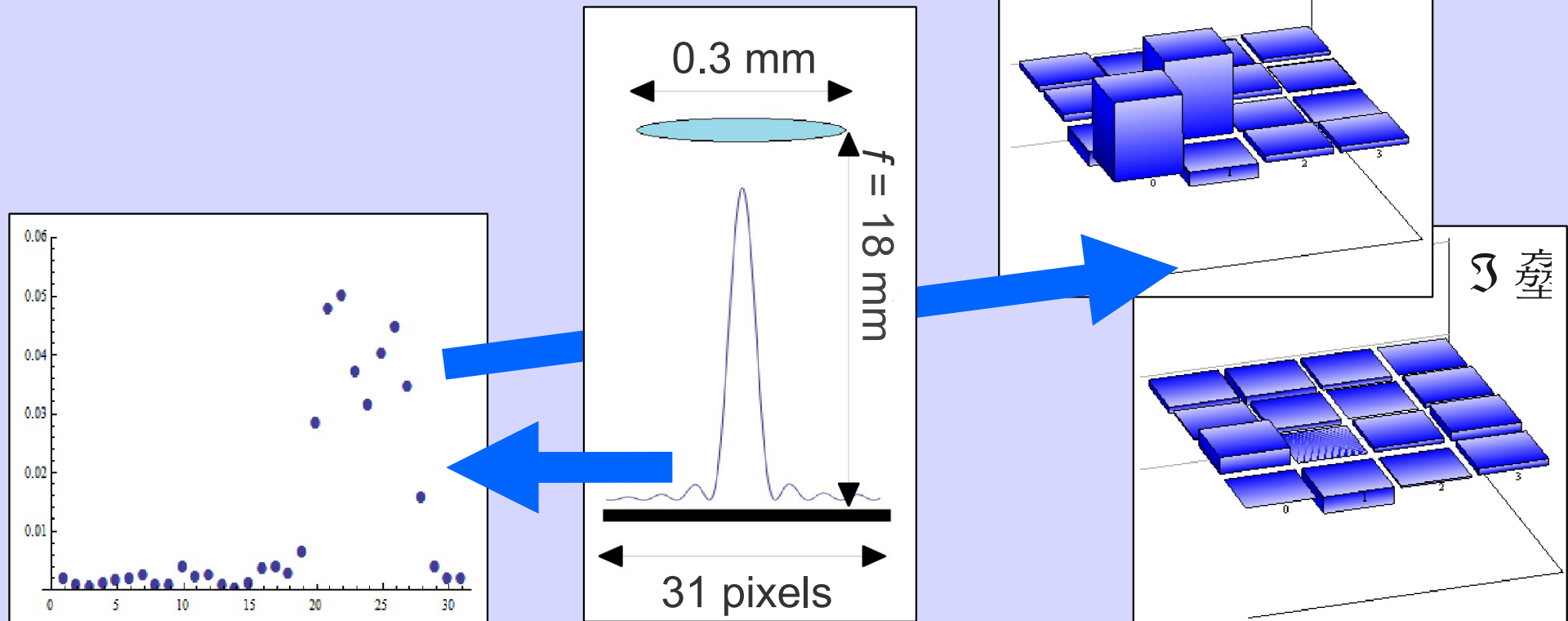
parabolické vlny

$$|\varphi_i\rangle = e^{-i\frac{k}{2r}x^2}, \quad r = \{-0.65, -1.12, \infty, 1.58\} \text{ m}$$

deformovatelné zrcadlo

$$G = 1/2 |\varphi_1\rangle\langle\varphi_1| + 1/2 |\varphi_2\rangle\langle\varphi_2|$$

reconstruction



Závěr

- Senzory vlnoplochy lze využít pro získání informace o koherenčních vlastnostech optického signálu.
- Byla demonstrována experimentální rekonstrukce koherenční matice využitím SH detekce.
- Je tato možnost využita v přírodě – např. “softwarové” zaostřování u hmyzu?

